

水素原子-水素分子の転移

観測の最前線

福井 康雄

宇宙電波懇談会 2013年12月



Y.F.

分子雲と原子雲の境界

分子雲 — CO (H₂) 密度 1000cm⁻³以上 : 星形成

原子雲 — HI 密度 10cm⁻³以下 : 分子雲形成

ダーク・ガス CO or HI で見えない? : ガンマ線、ダスト放射・減光

分子雲と原子雲の境界 (10-100cm⁻³) は見えるか (定量できるか) ?

— H₂ without CO?

— CI emission?

— 相転移、Hはダスト表面でH₂になり、放出される

最大の仮定 「HIは光学的に薄い」

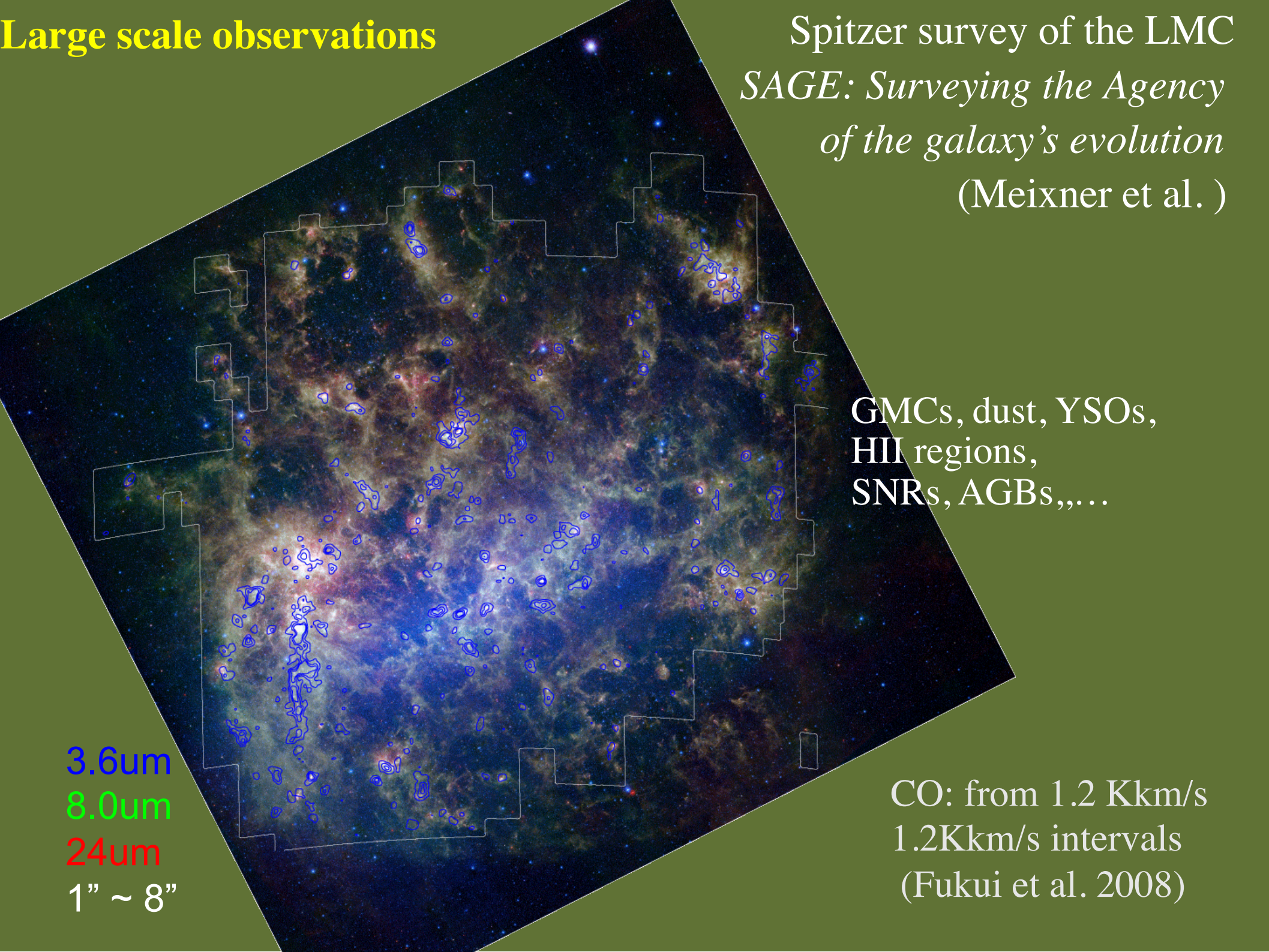
Large scale observations

Spitzer survey of the LMC
*SAGE: Surveying the Agency
of the galaxy's evolution*
(Meixner et al.)

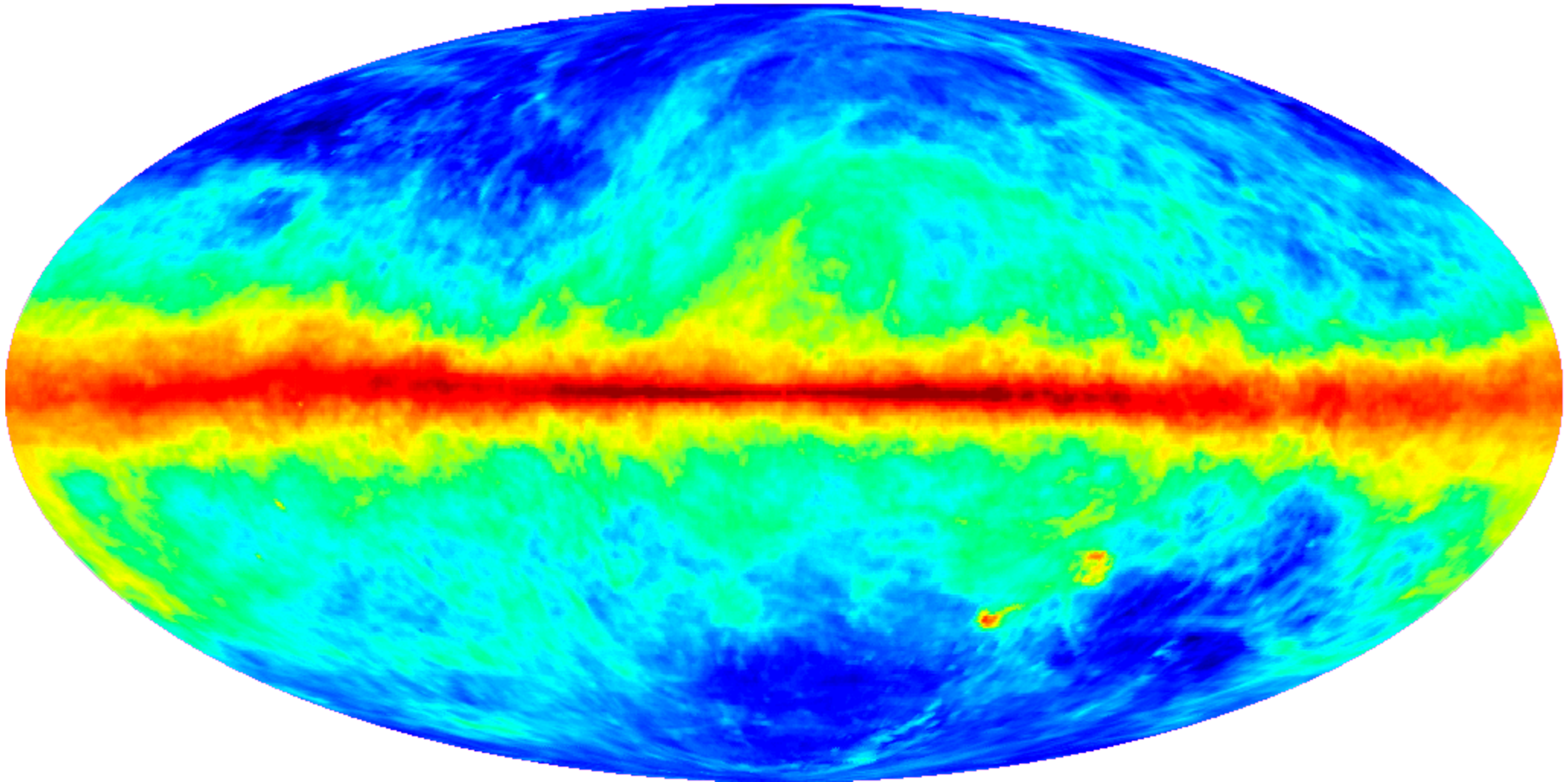
GMCs, dust, YSOs,
HII regions,
SNRs, AGBs,...

3.6 μ m
8.0 μ m
24 μ m
1" ~ 8"

CO: from 1.2 Kkm/s
1.2Kkm/s intervals
(Fukui et al. 2008)

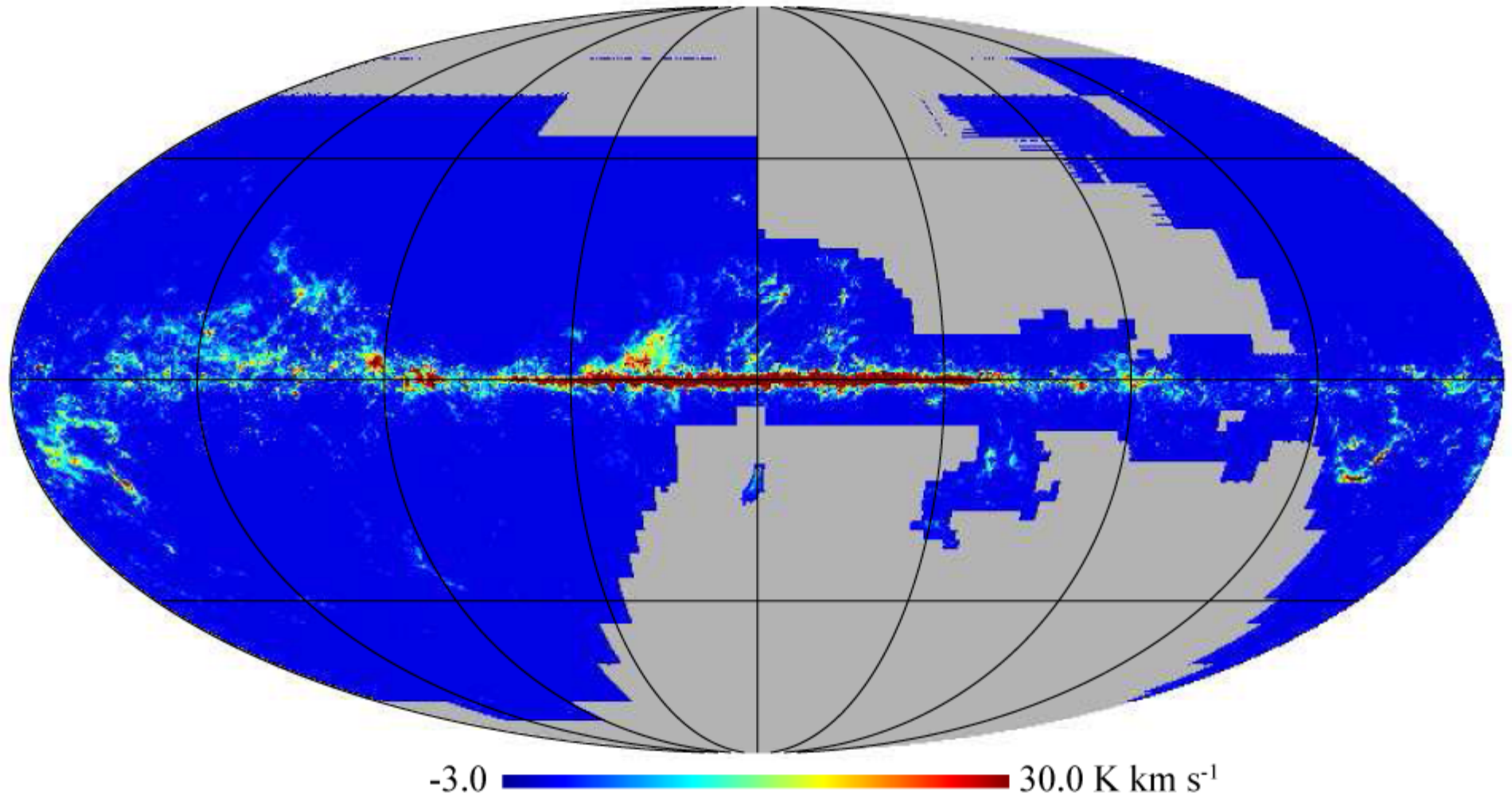


HI LAB

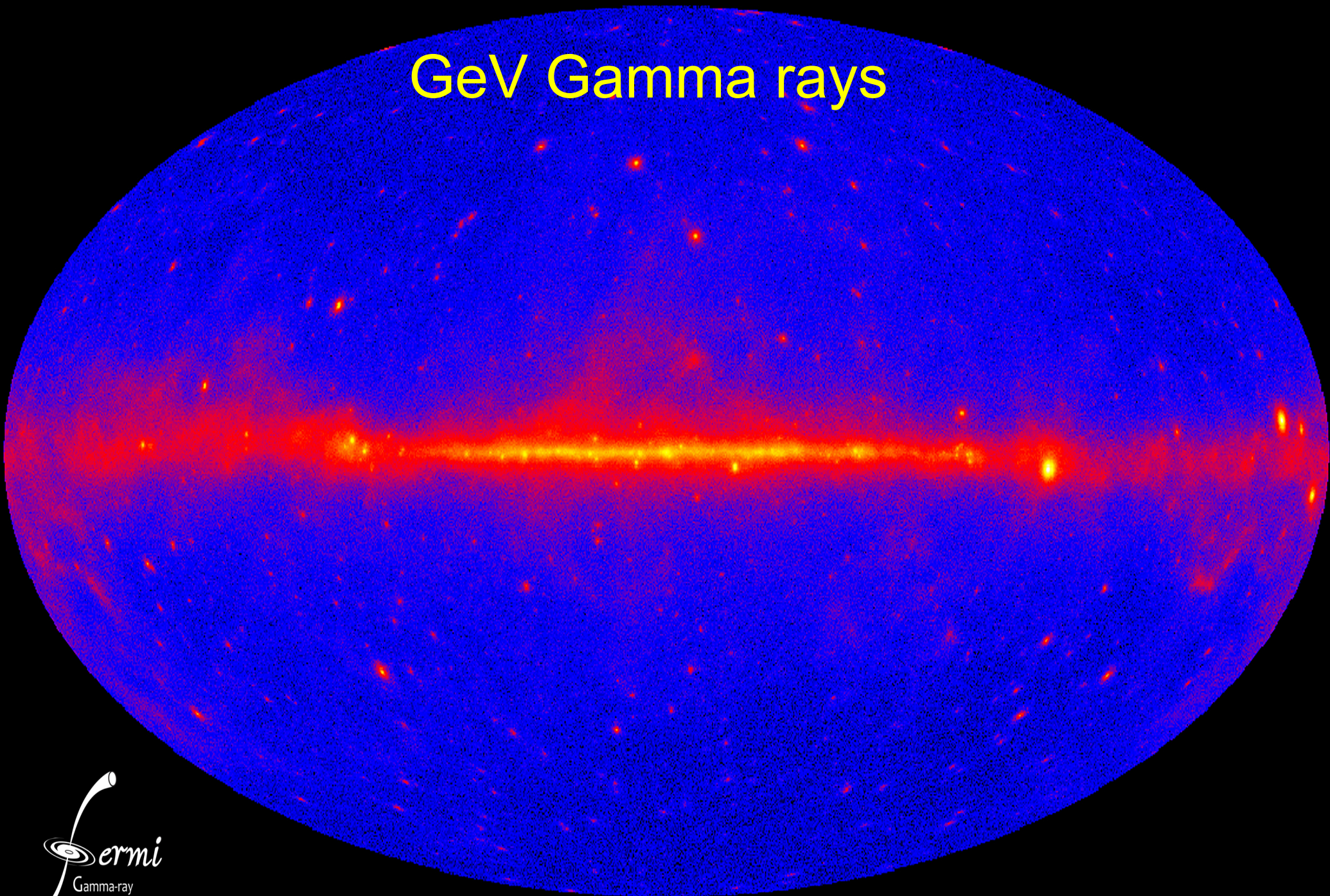


The Leiden/Argentine/Bonn Galactic HI Survey

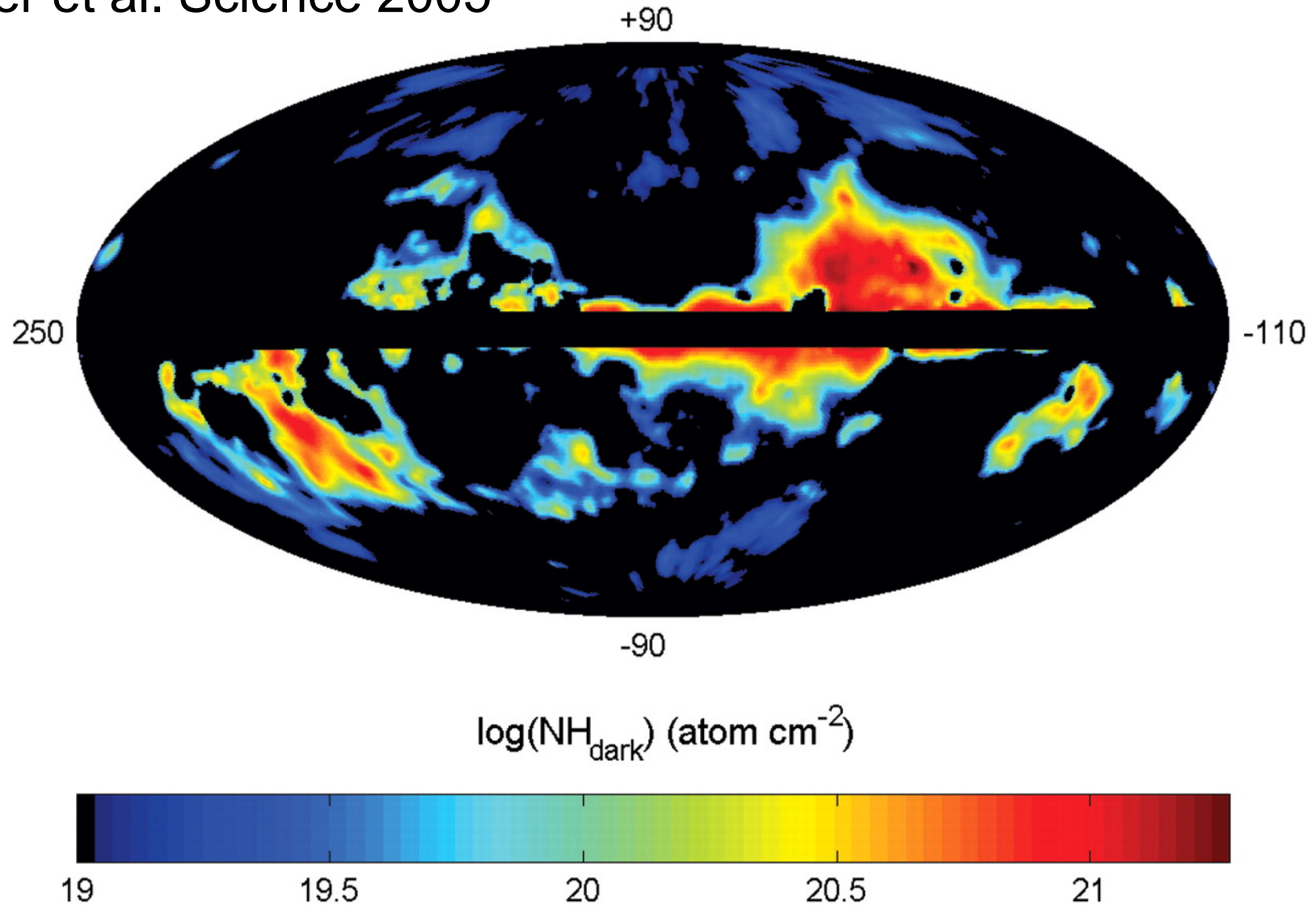
CO surveys : CfA + NANTEN



GeV Gamma rays

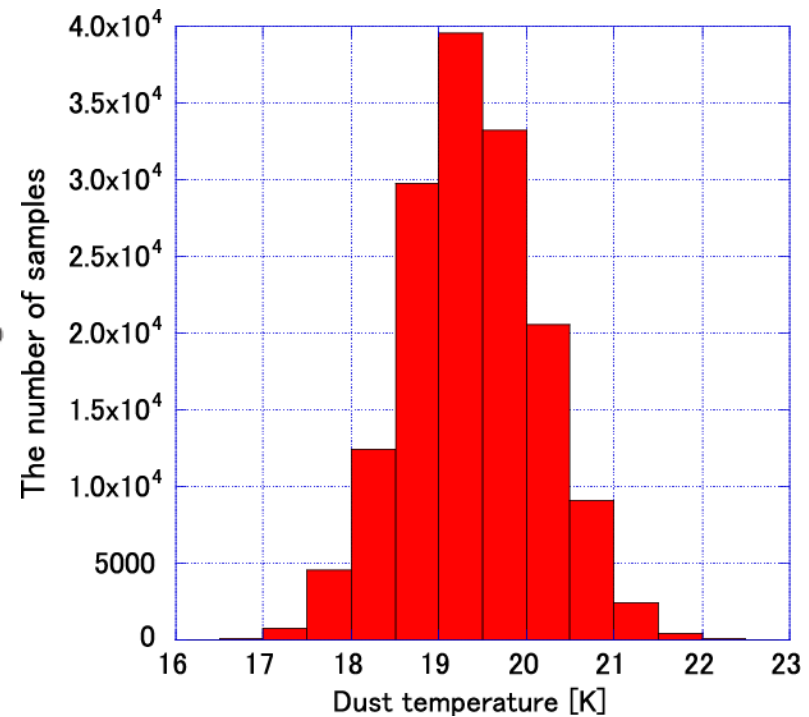
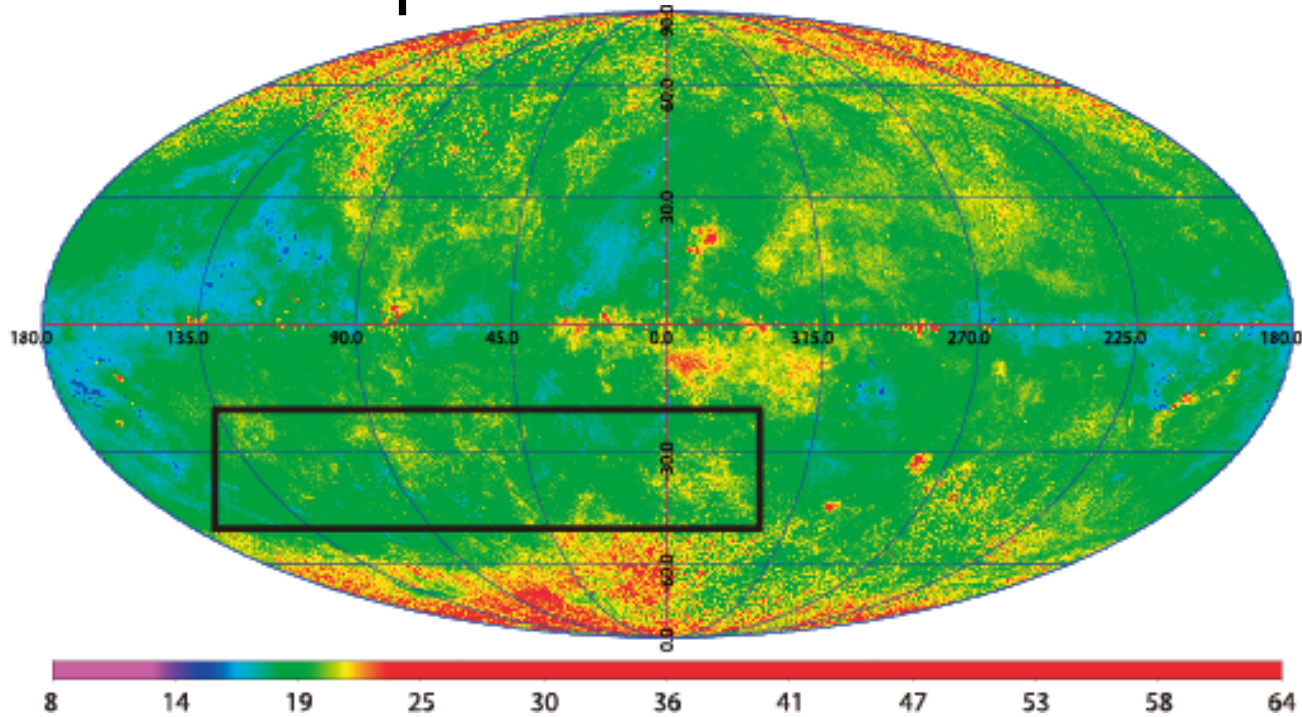


Grenier et al. Science 2005

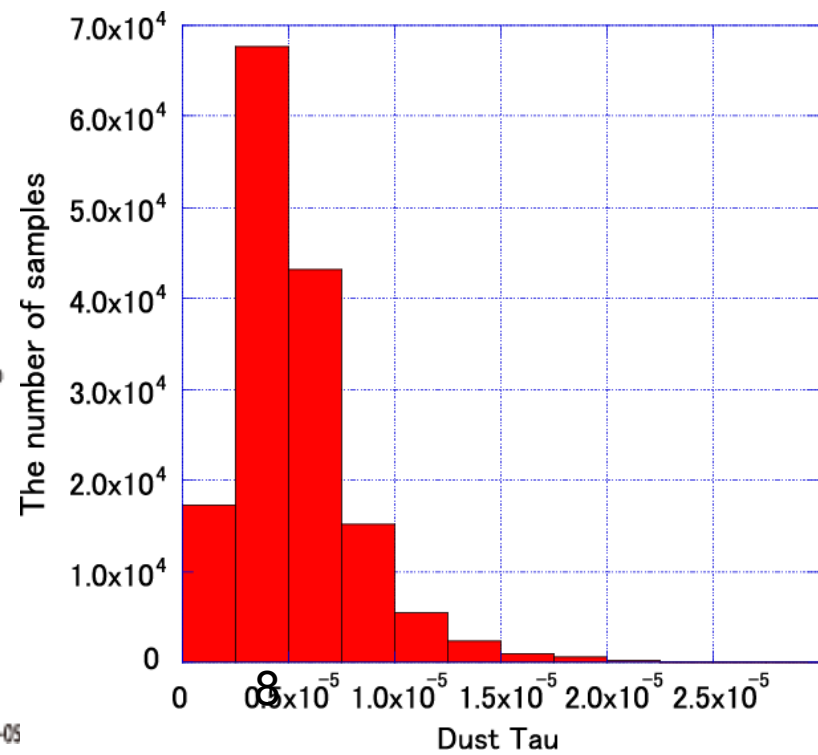
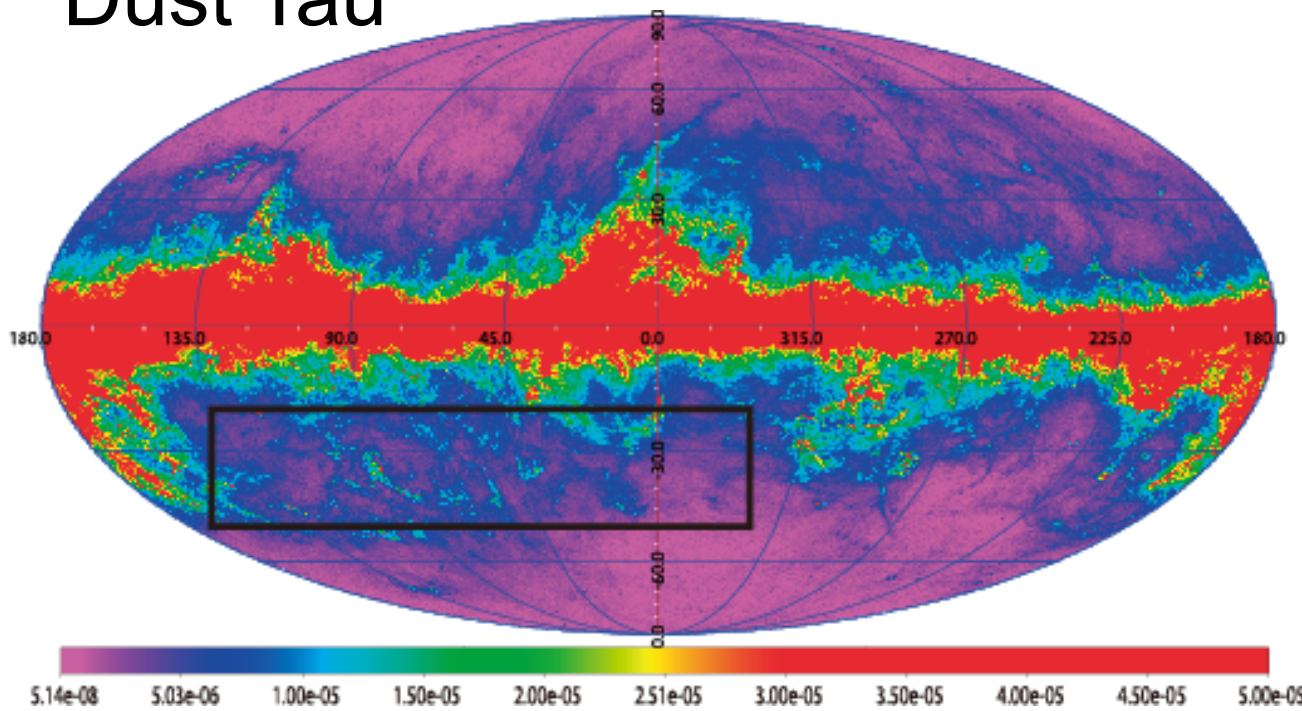


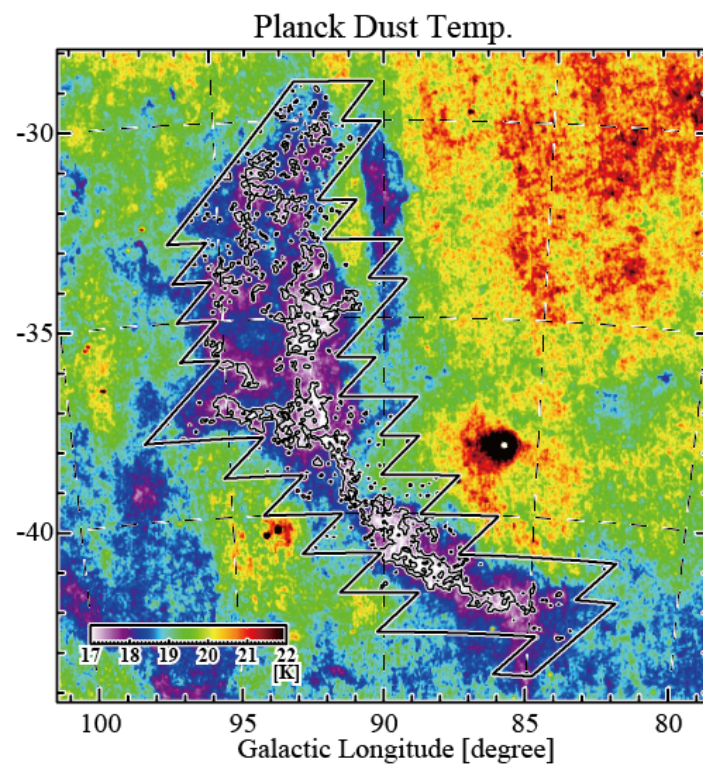
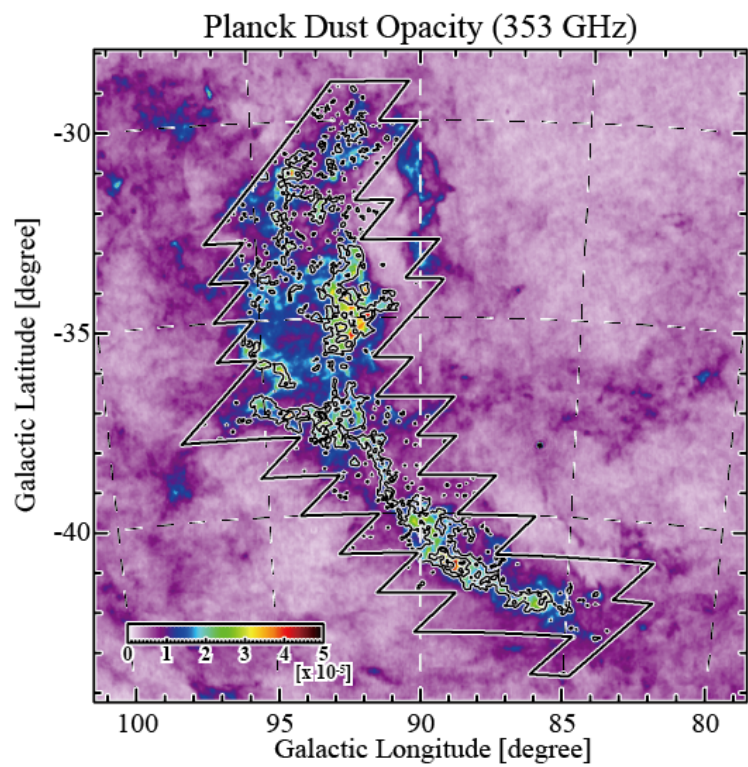
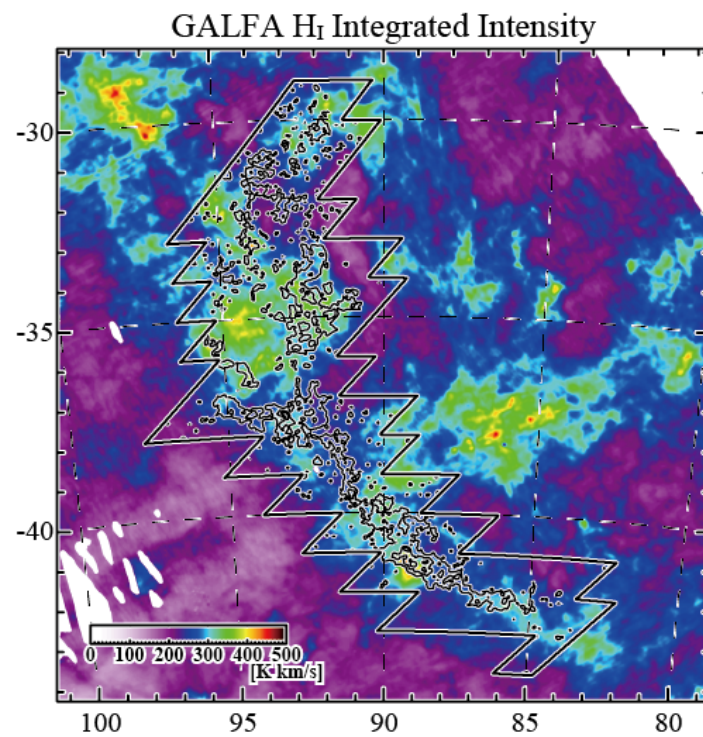
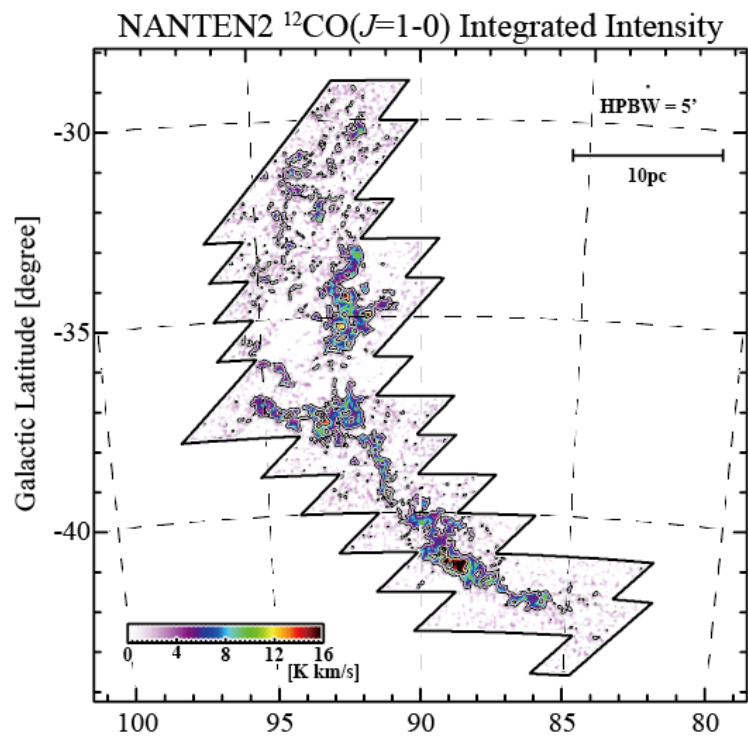
Column density of dark gas $\sim 10^{20.5}-10^{21.5} / \text{cm}^2$

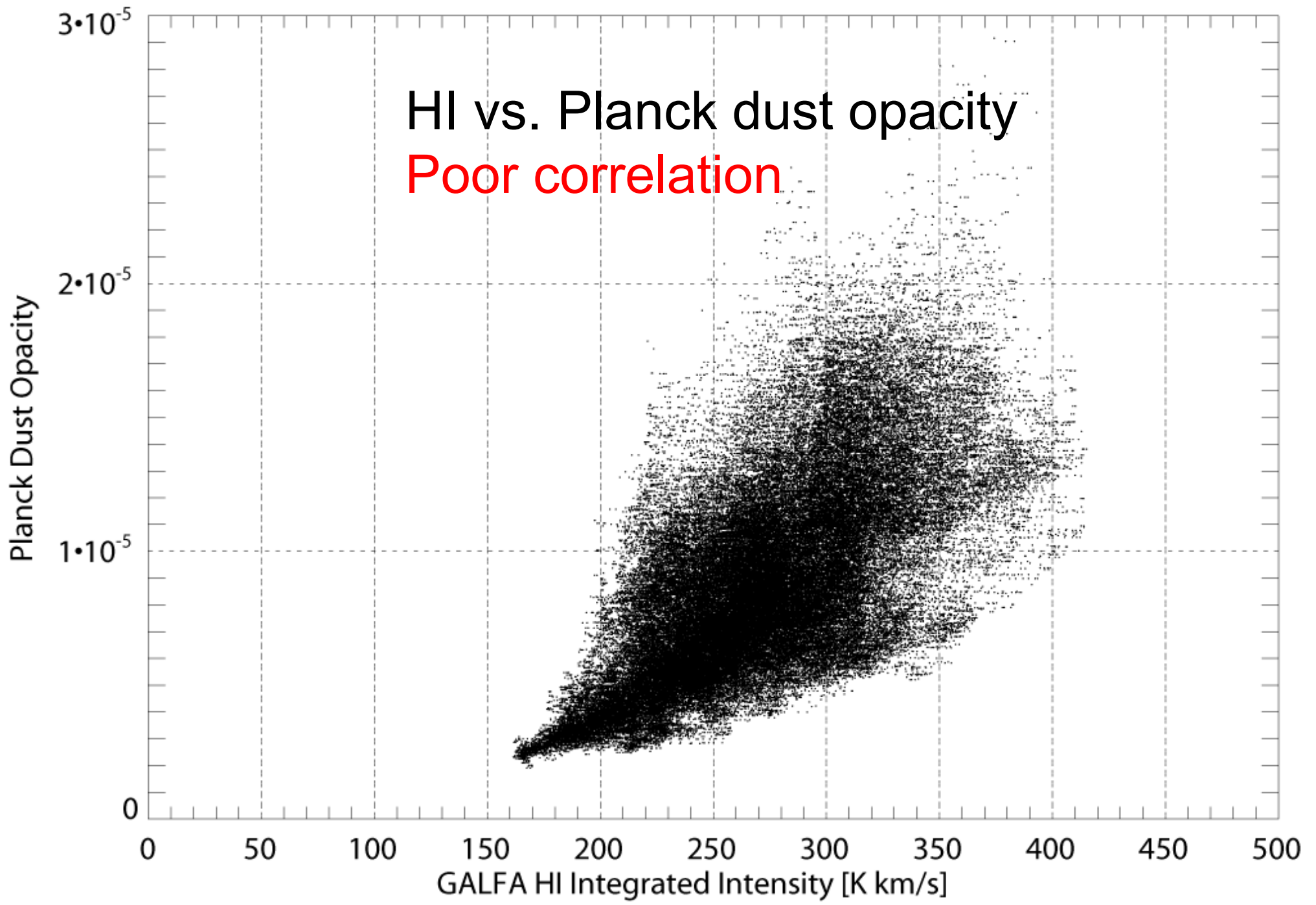
Dust Temperature



Dust Tau







HI 21cm line

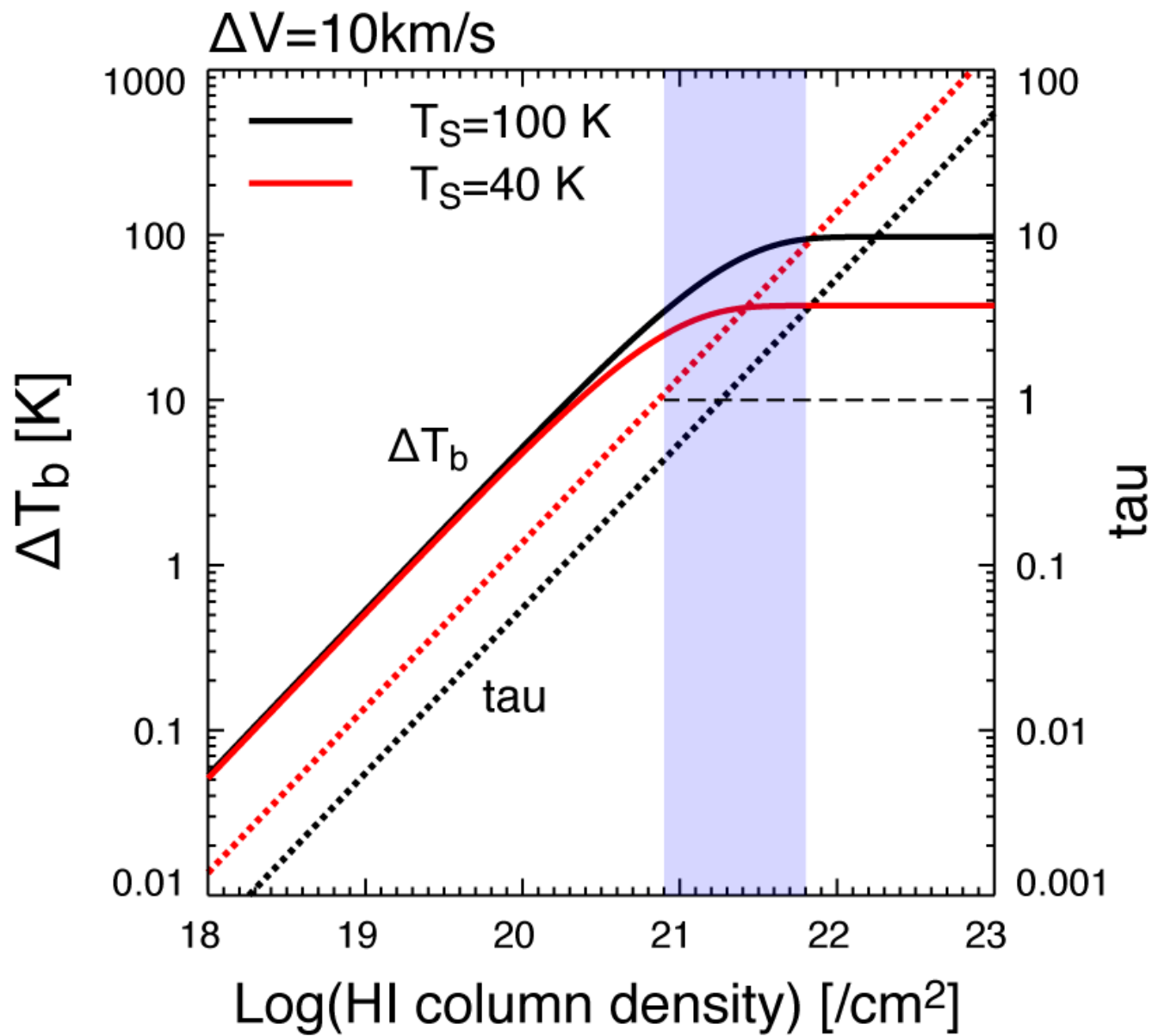
In the thermodynamic equilibrium

$$\frac{N_2}{N_1} = \frac{g_2}{g_1} \exp\left(-\frac{h\nu}{kT}\right) \approx \frac{g_2}{g_1} = 3$$

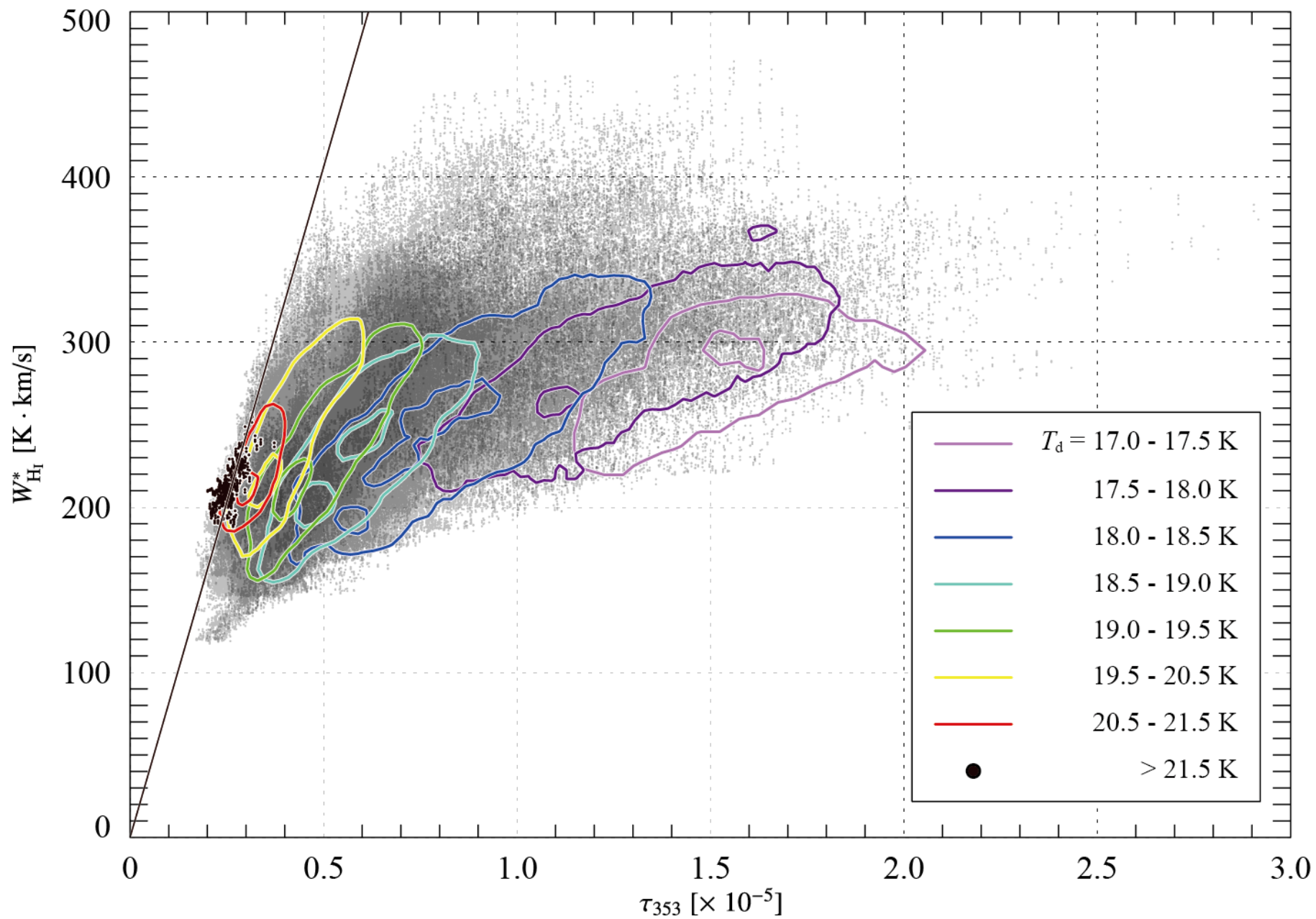
$$N_{\text{HI}} = N_2 + N_1 = 4N_1$$

Optically thin approximation

$$N_{\text{HI}} = 4 \times \frac{8\pi\nu^2 g_1 k}{c^3 h g_2 A_{21}} \int \Delta T_b dv$$
$$= 1.82 \times 10^{18} \int \Delta T_b dv \quad (\text{cm}^{-2})$$



$$\Delta T_b = (T_s - T_{\text{bg}})(1 - \exp(-\tau))$$



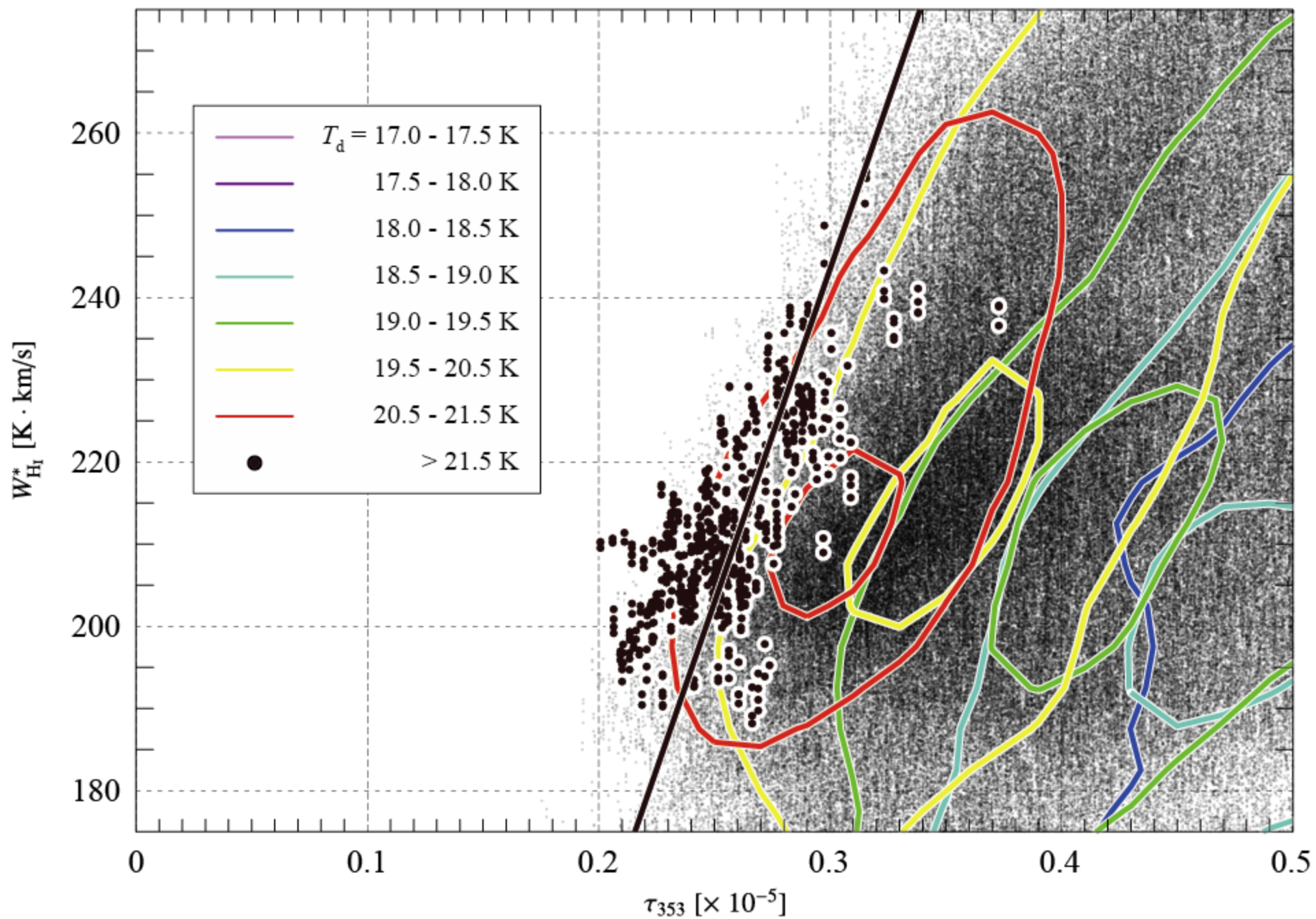


Fig. 3 クローズアップ

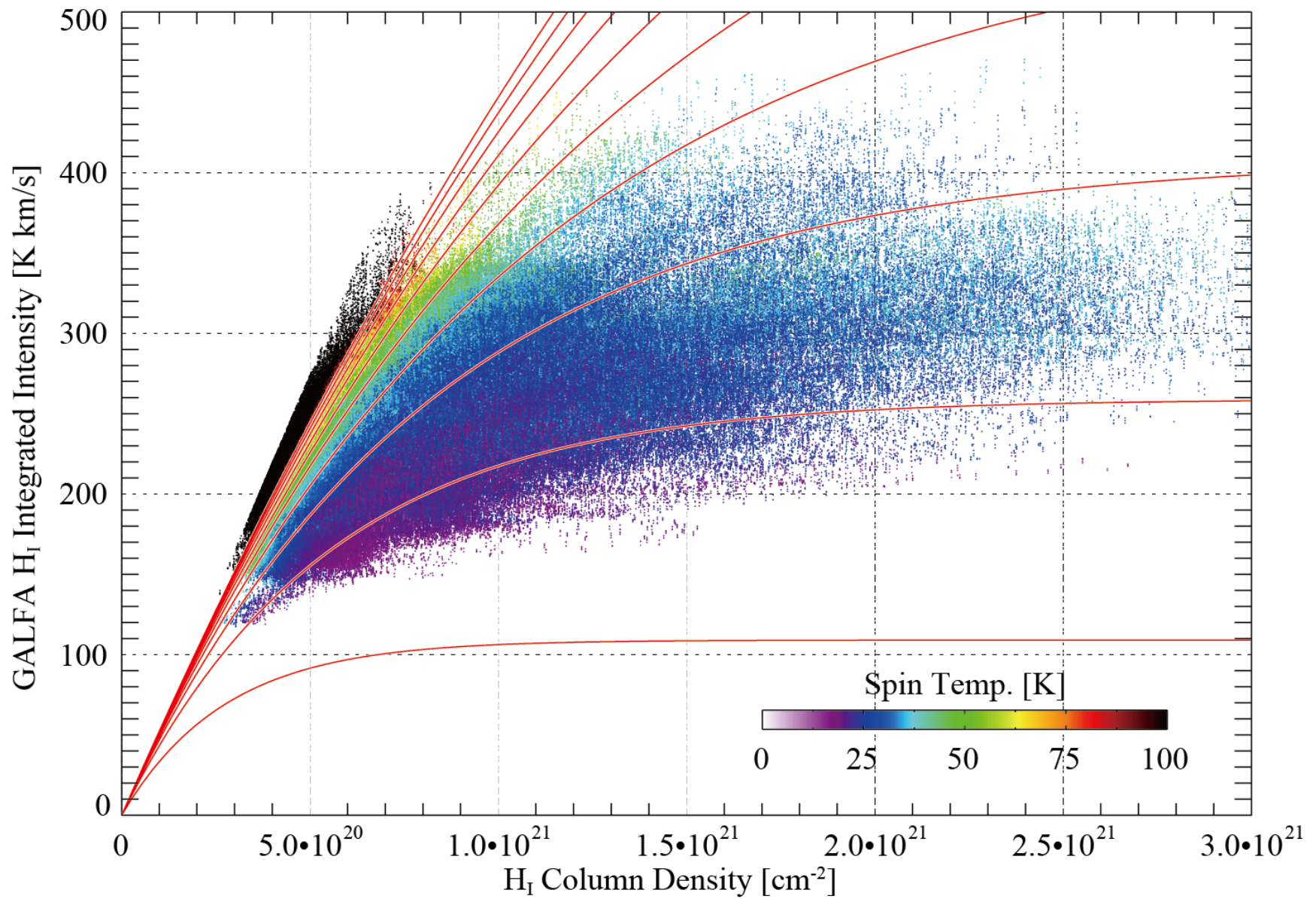
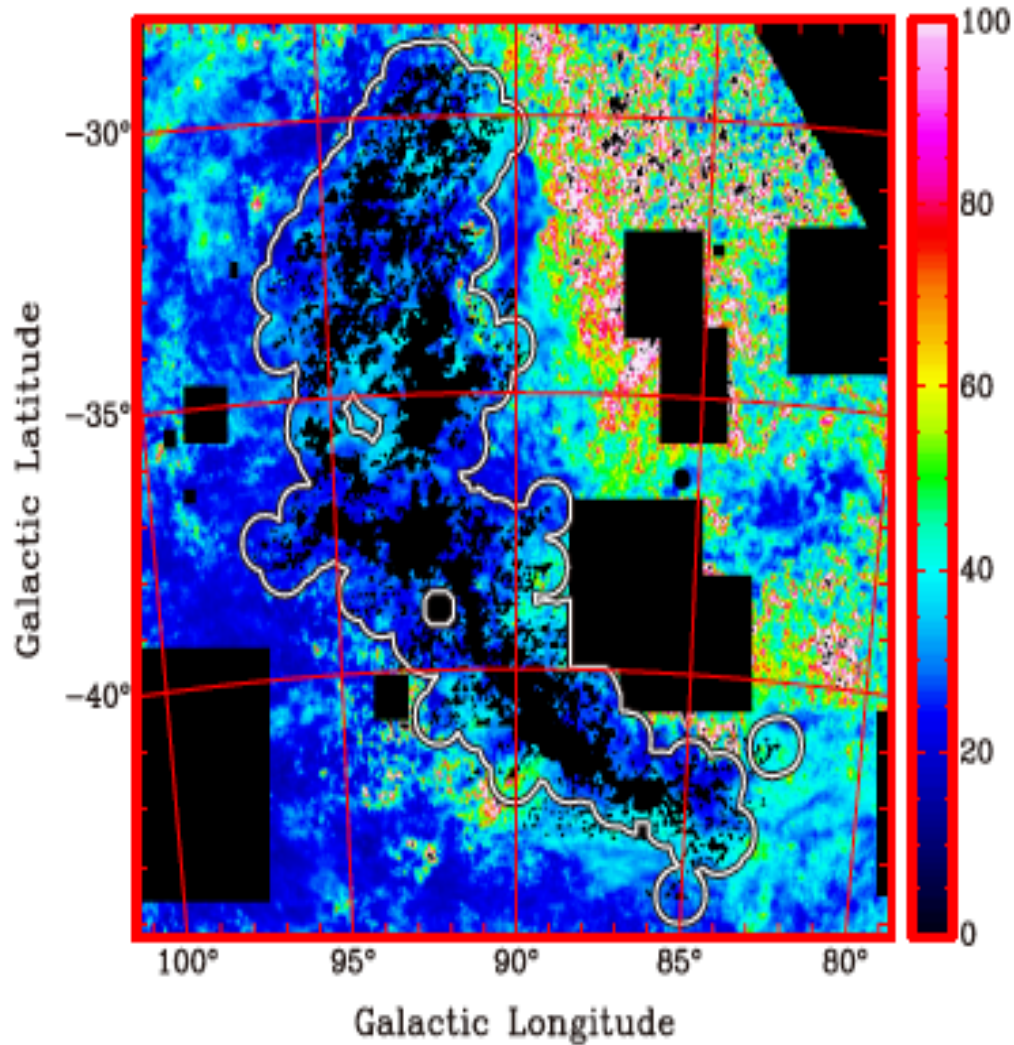


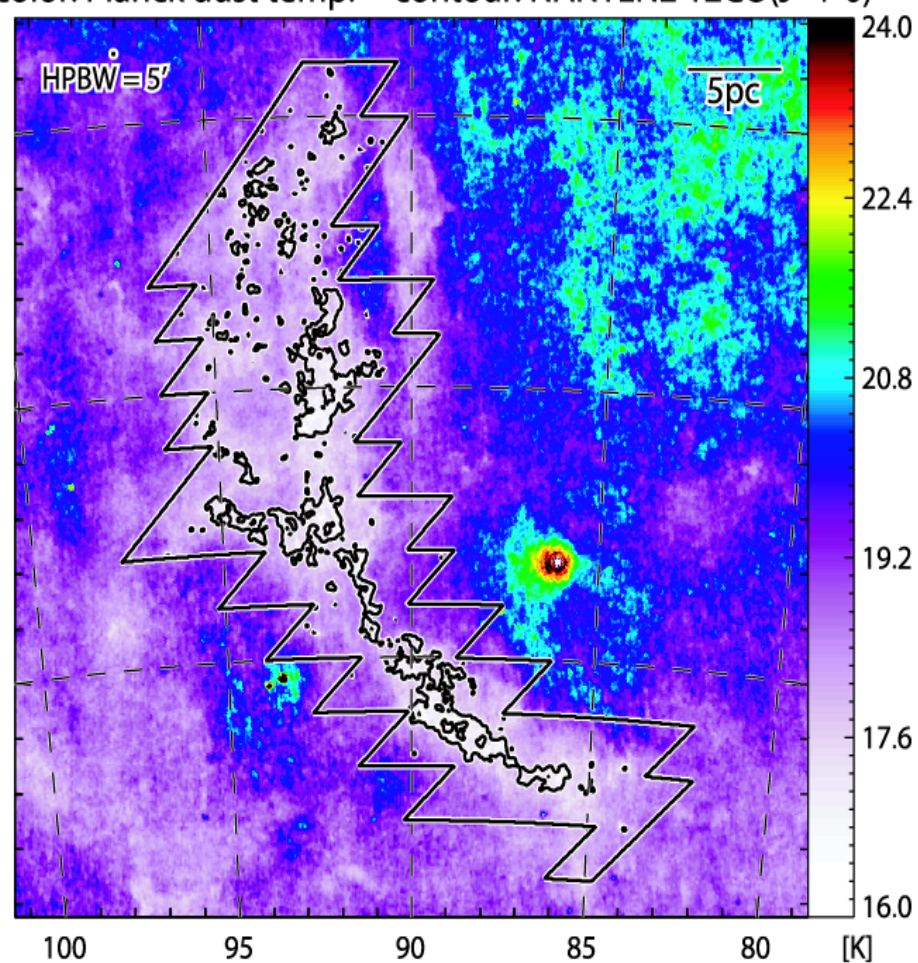
Fig. 3
赤の曲線は等Ts線(理論線)
下から10, 20, 30, ..., 100 K

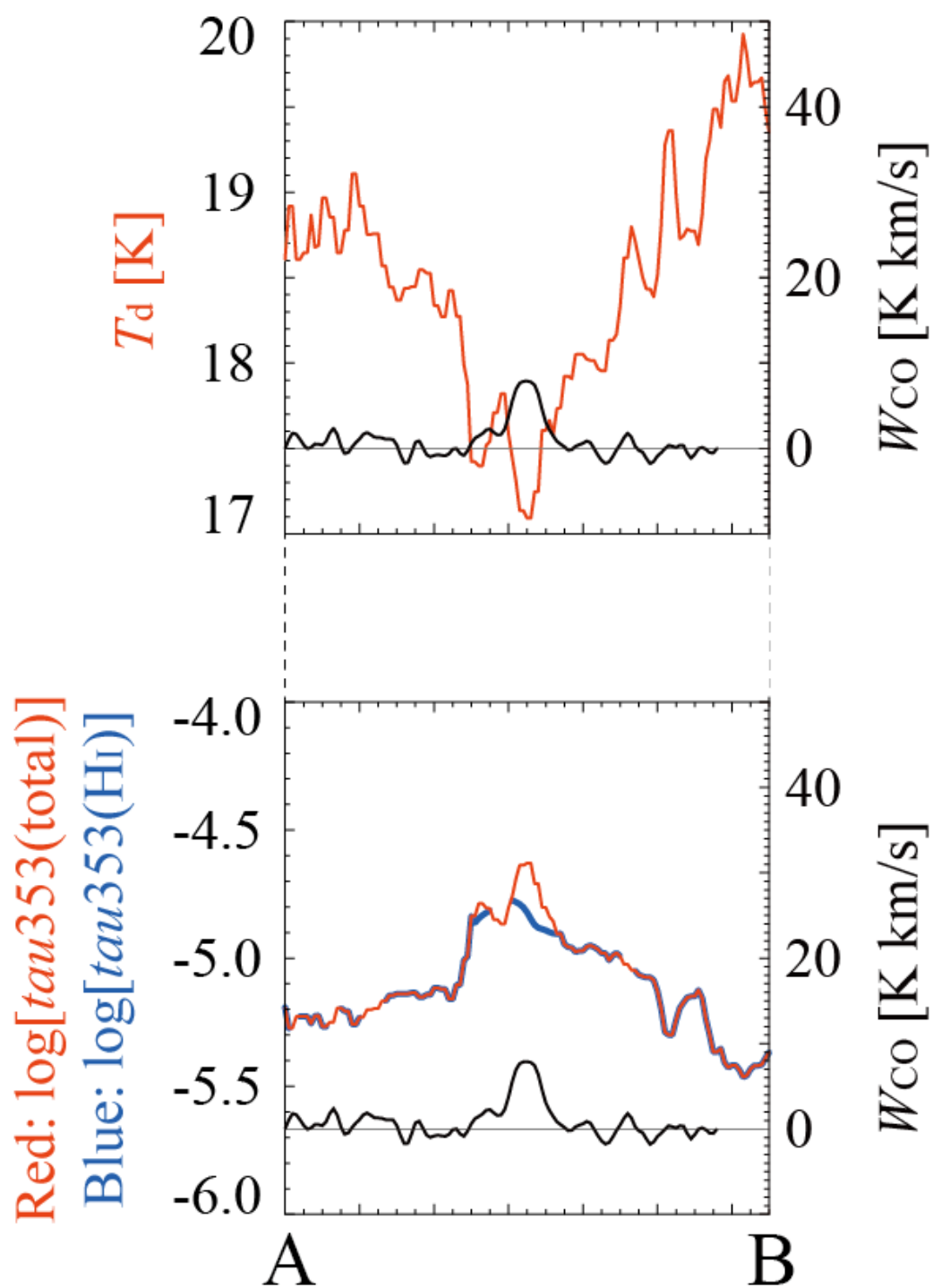
no CO

Ts [K]

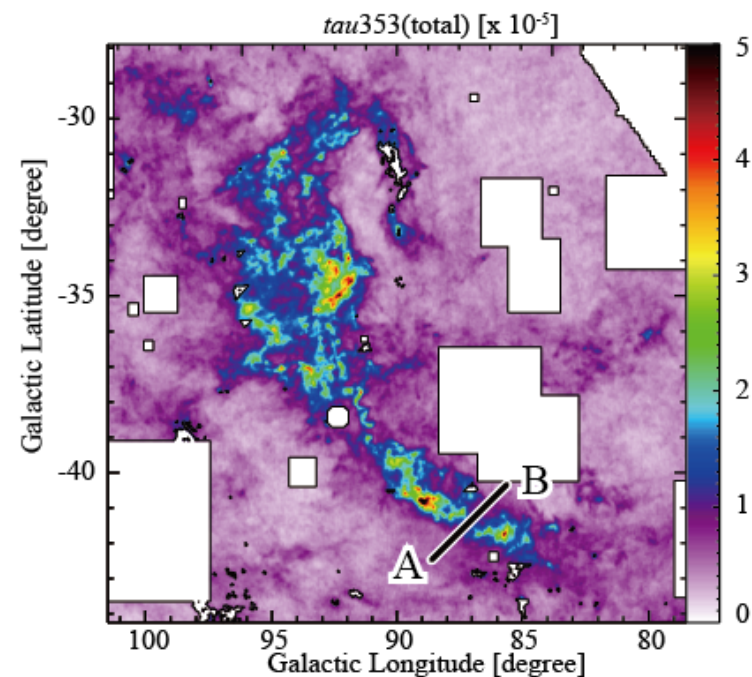
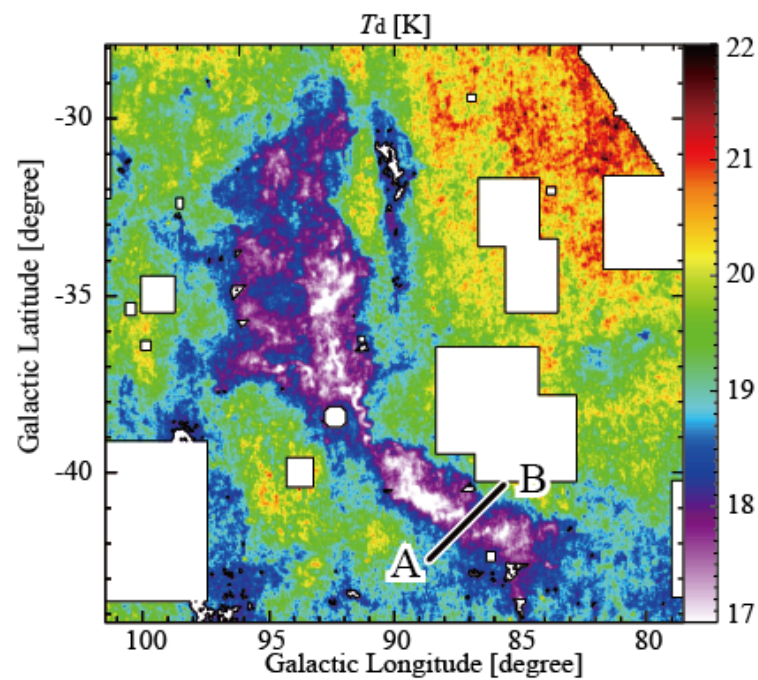


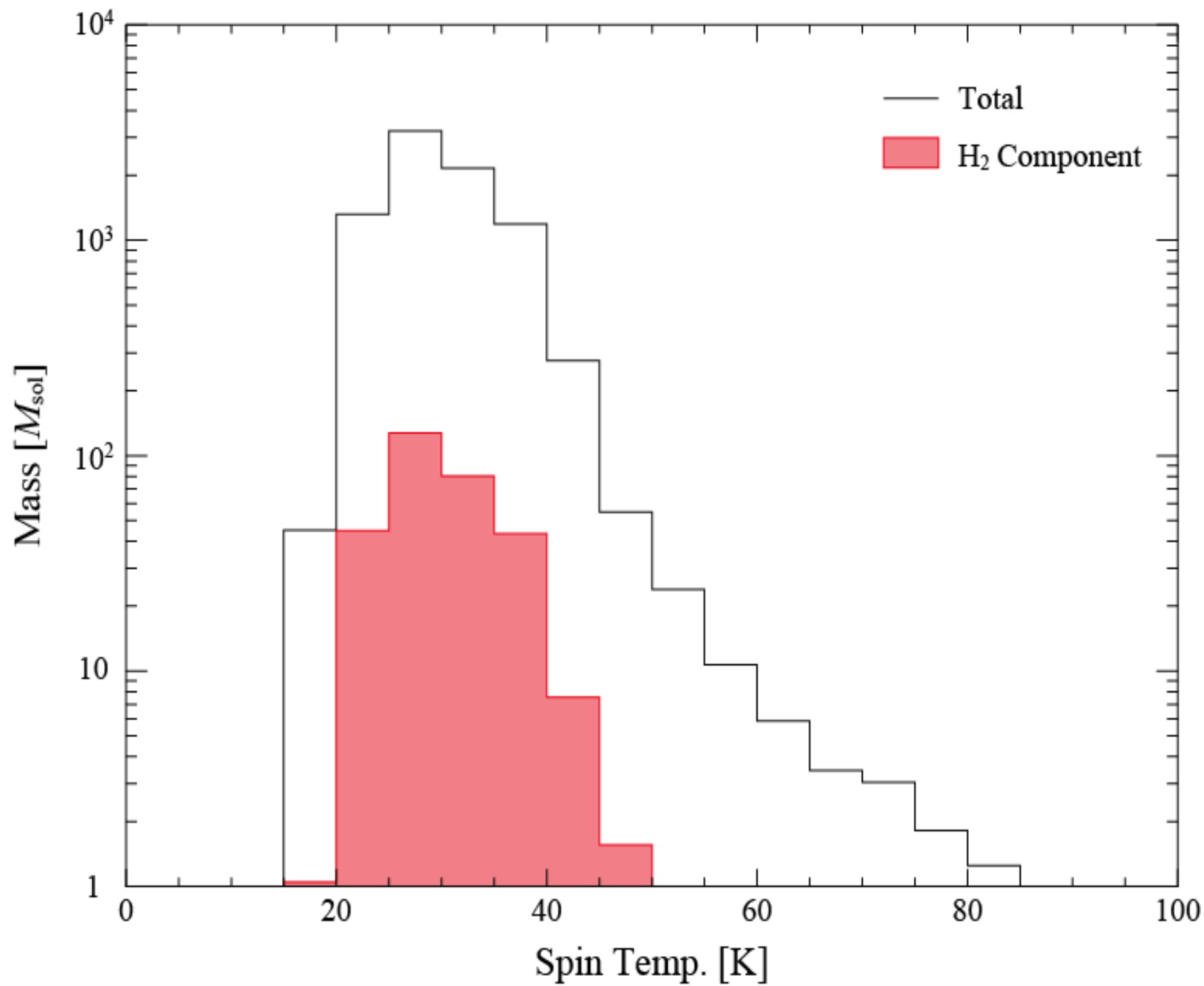
color: Planck dust temp. contour: NANTEN2 12CO(J=1-0)

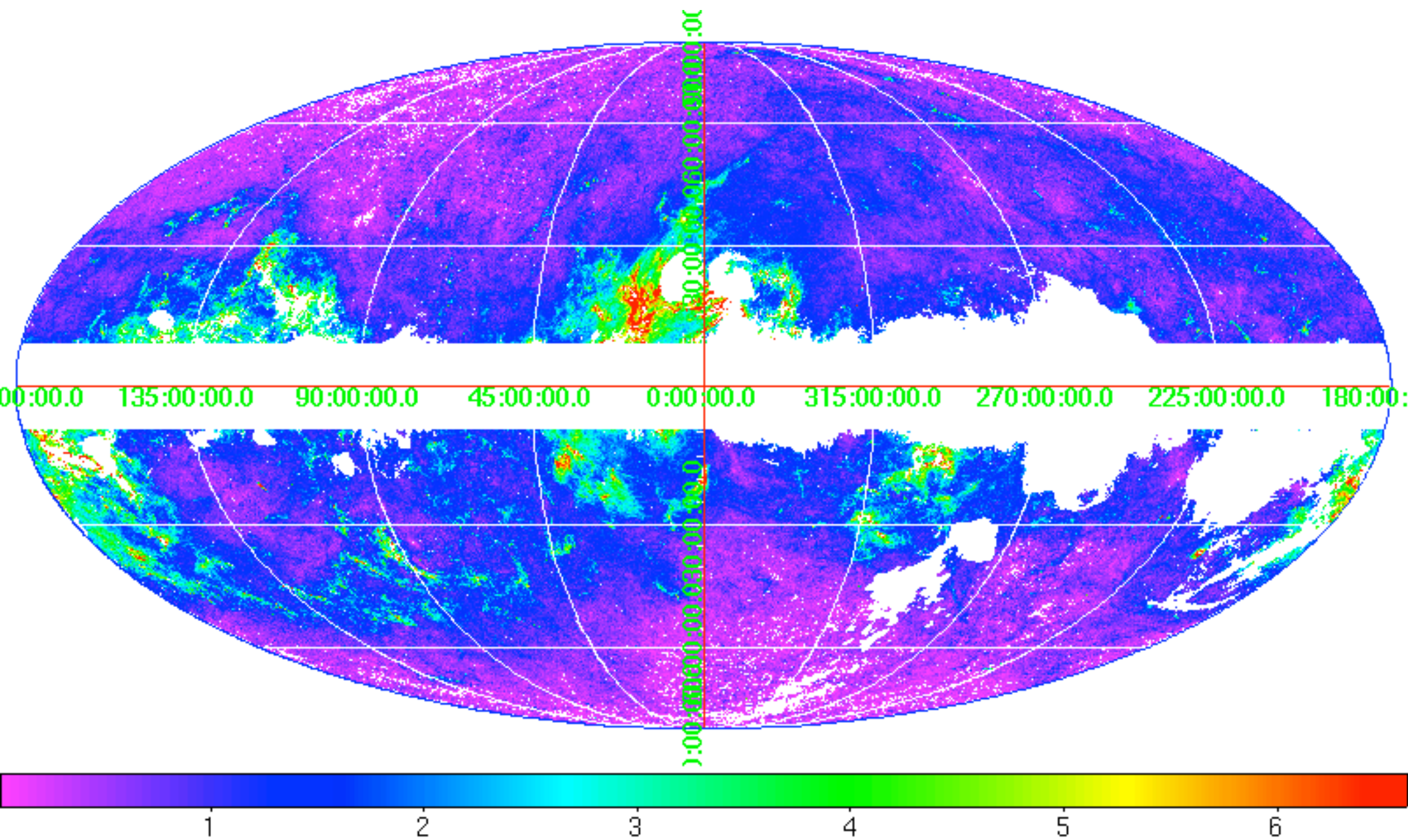


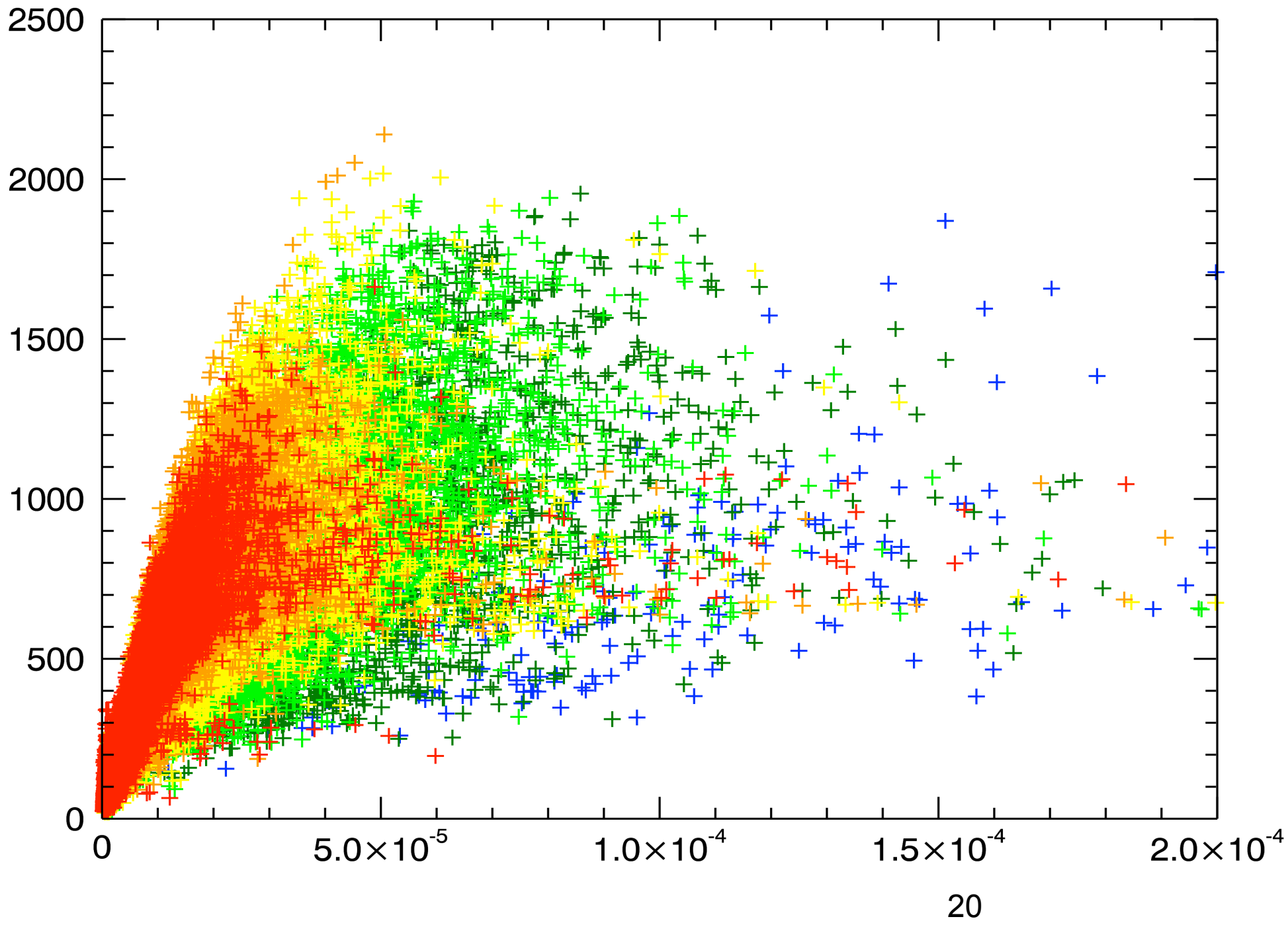


A-B 線に沿った T_d と τ_{353} のプロット。



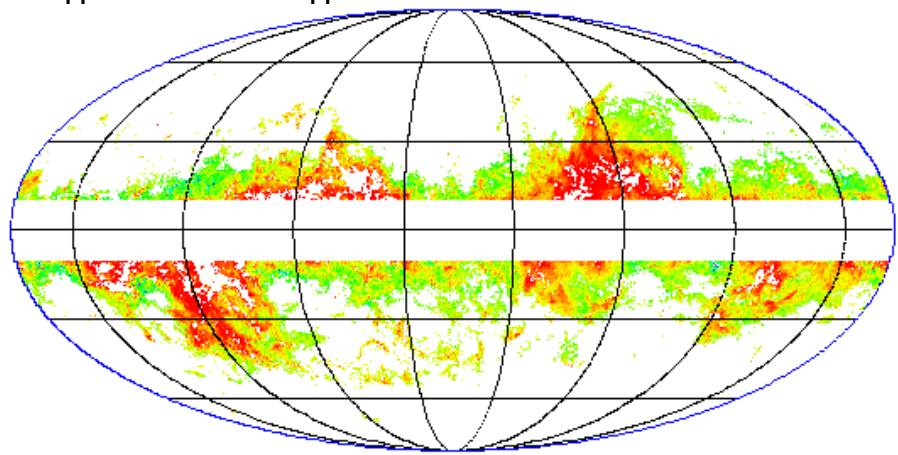






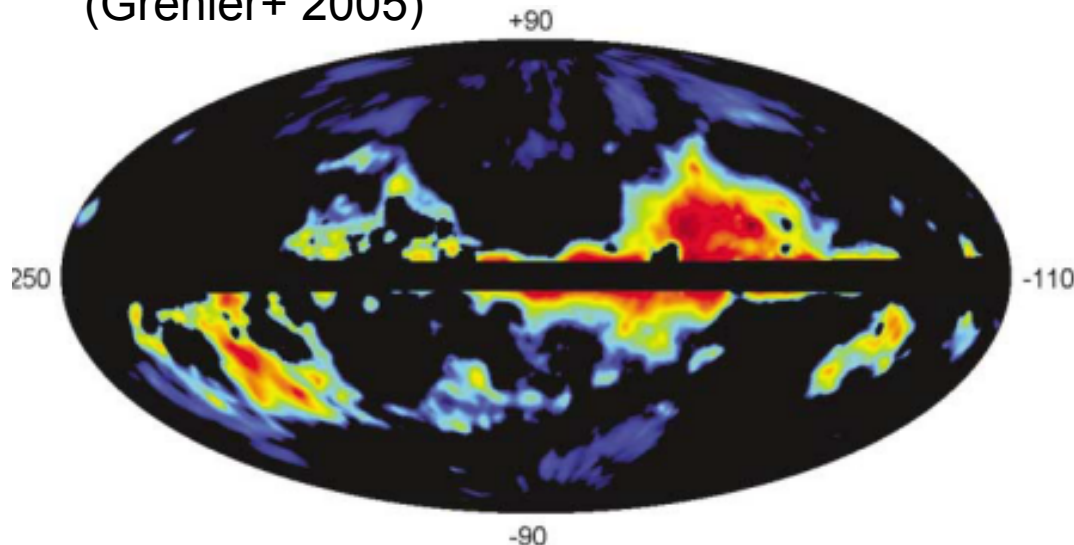
“Dark gas”

$$N_{\text{H}}^{\text{corrected}} - N_{\text{H}}^{\text{conventional}}$$

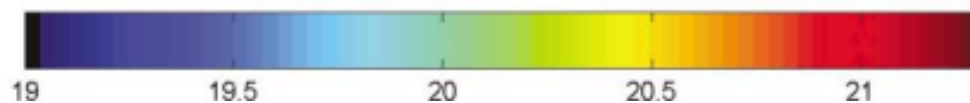


※ Grenier+ (2005)に合わせて $l=70^\circ$ を中心に投影している

Column densities of “dark gas”
(Grenier+ 2005)



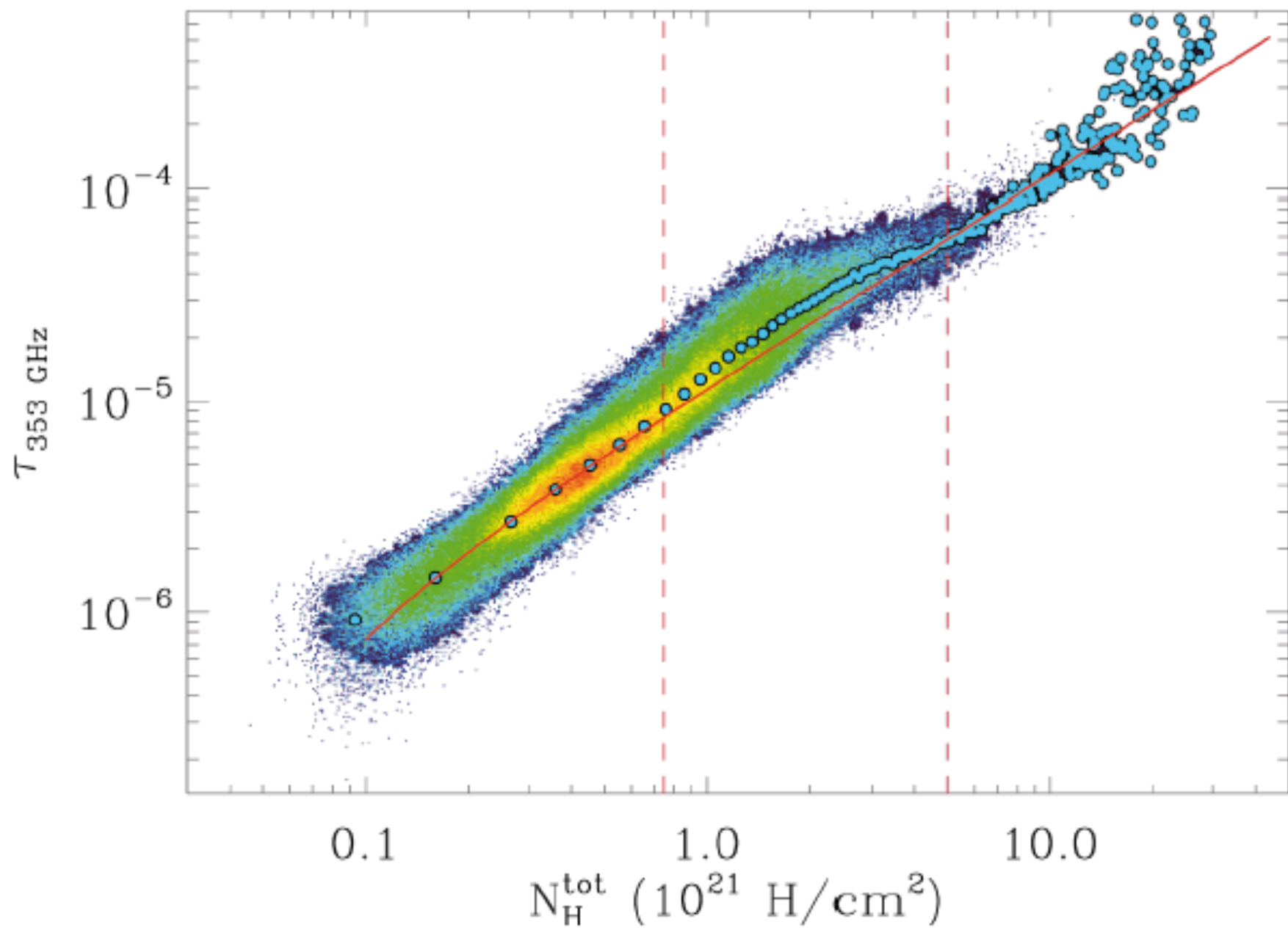
$\log(N_{\text{H}}^{\text{dark}})$ (atom cm^{-2})

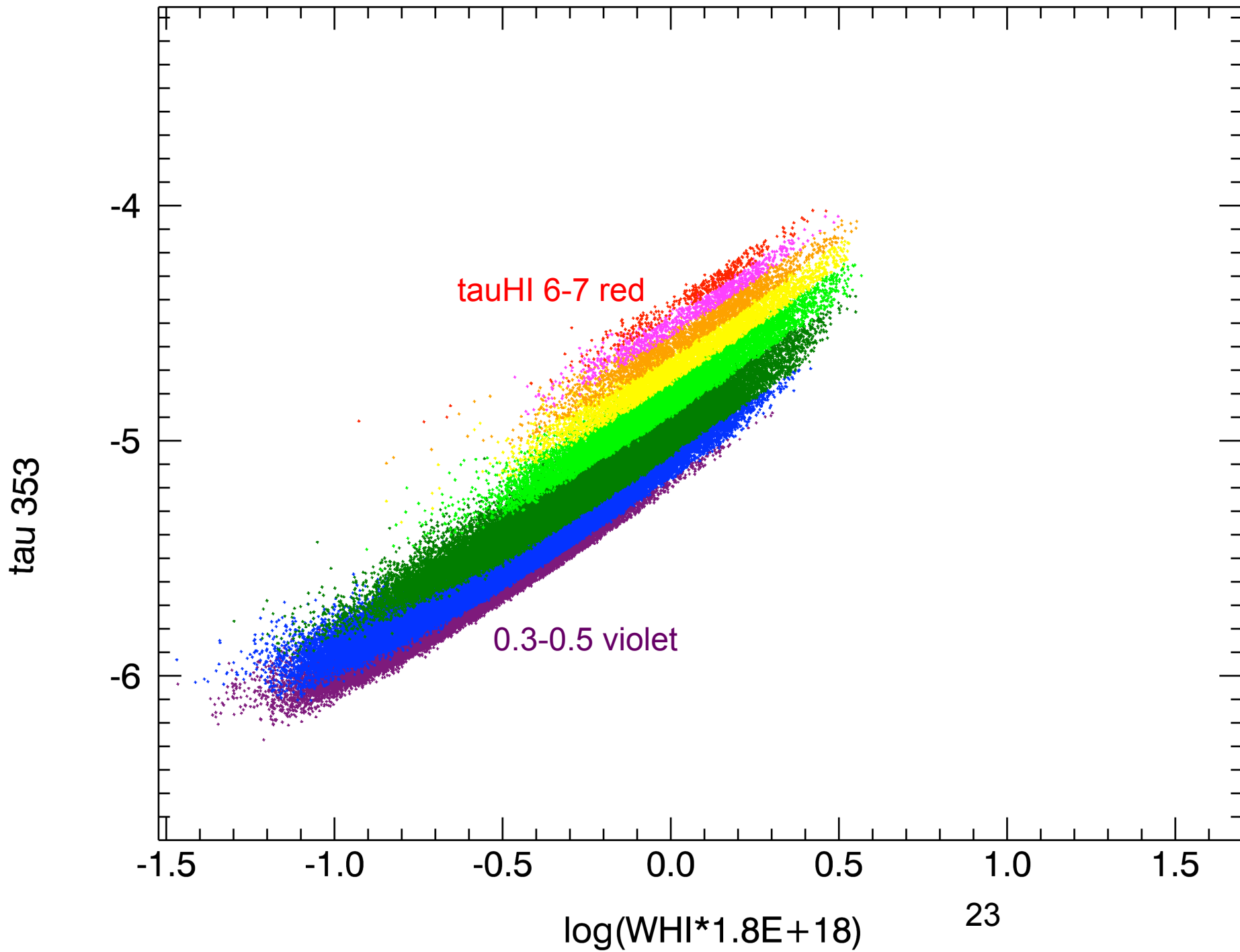


$N_{\text{H}}^{\text{dark}} = N_{\text{H}}^{\text{corrected}} - N_{\text{H}}^{\text{conventional}}$ で再現可能

- $N_{\text{H}}^{\text{conventional}} = W_{\text{HI}} \times 1.82 \times 10^{18} \text{ [cm}^{-2} / (\text{K km/s}^{-1})]$

- $N_{\text{H}}^{\text{corrected}} = N_{\text{H}}^{\text{conventional}} \times$





HIは光学的に厚い ($\tau = 1-5$ 以上)

- HI、スピン温度50以下に大量に存在する
水素原子密度は、ほぼ2倍になる (太陽系近傍)
(Dickey 2003; Heiles & Troland 2003は連続波の吸収から同様の示唆)
- ガス・ダストの性質の精密な定量、従来よりも1桁向上
[SKA+ALMA]
分子雲の力学 (dense HIの動圧大)
分子雲の成長 (銀河規模も含めて)
SNRにおけるガンマ線の起源、dense HIがハドロン起源
- ダスト表面の水素原子の挙動、水素の相転移の理解
- ダスト表面での粒子の挙動の理解
- 宇宙線のエネルギー密度の見直し (Fermi collaboration)
- 宇宙背景放射の前景の理解 (Planck collaboration)
- 世界は「薄いHI」で築かれている 大幅かつ広範な改訂が必要

H2 formation timescale

Formation time scale of H₂

$$\frac{dn_2}{dt} = \frac{1}{2} \gamma \langle v_1 \rangle n_g n_1 \langle \sigma_g \rangle$$

(Hollenbach & Salpeter 1971; Jura 1974)

γ : sticking probability for incident H atoms.

$\langle v_1 \rangle$: mean thermal velocity of H atoms.

$\langle \sigma_g \rangle$: average grain cross section.

n_1 , n_2 & n_g : number density of HI, H₂ and grains, respectively

$$t_{\text{form}} = n_2 \left(\frac{dn_2}{dt} \right)^{-1} \sim 10^7 \left(\frac{10^2 \text{ cm}^{-3}}{n_1} \right) [\text{yr}]$$

Workshop

Birth and death of high-mass stars: Lesson on newly explored phases of the interstellar medium

January 8-11, 2014

Nagoya University

Scientific organizing committee

Jean-Phillipe Bernard (CNRS)

Yasuo Fukui (co-chair) (Nagoya)

Shu-ichiro Inutsuka (co-chair) (Nagoya)

Tsuyoshi Inoue (NAOJ)

Toshikazu Onishi (Osaka P. U.)

Kengo Tachihara (Nagoya)